

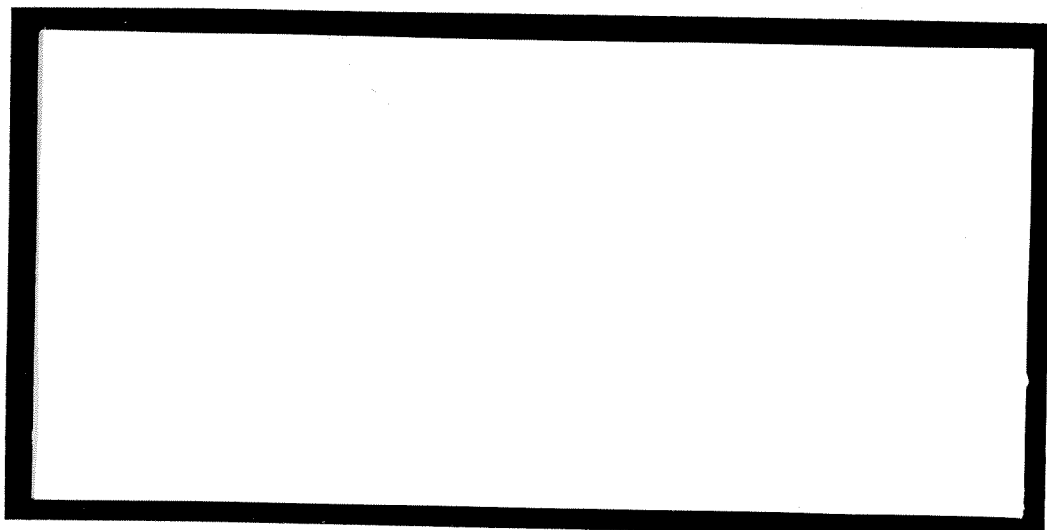
1997-1294

Fazla



TÜRKİYE BİLİMSEL VE  
TEKNİK ARAŞTIRMA KURUMU

THE SCIENTIFIC AND TECHNICAL  
RESEARCH COUNCIL OF TURKEY



Yer Deniz Atmosfer Bilimleri ve  
Çevre Araştırma Grubu

Earth Marine Atmospheric Sciences and  
Environmental Researches Grant Group

*KARADENİZ'DE YAŞAYAN MNEMİOPSİS'İN  
SOLUNUM YOLUYLA HARCADIĞI  
ENERJİ MİKTARININ BELİRLENMESİ*

Proje No: YDABÇAG-96/D



*Yrd. Doç. Dr. Ahmet Erkan Kideyş*

Ağustos 1996

Erdemli

| <i>İçindekiler</i>                                                                                                          | Sayfa |
|-----------------------------------------------------------------------------------------------------------------------------|-------|
| Teşekkür                                                                                                                    | 3     |
| Özet                                                                                                                        | 4     |
| Abstract                                                                                                                    | 5     |
| Şekiller listesi                                                                                                            | 6     |
| Tablolar listesi                                                                                                            | 7     |
| 1. Projeyi destekleyen ve işbirliği yapılan kuruluşlar                                                                      | 8     |
| 2. Giriş                                                                                                                    | 9     |
| 3. Projenin amacı                                                                                                           | 11    |
| 4. Projede uygulanan yöntem                                                                                                 | 12    |
| 5. Bulgular                                                                                                                 | 14    |
| 5.1. Morfometrik ölçümler                                                                                                   | 14    |
| 5.2. Oksijen örneklemesi zamanının belirlenmesi                                                                             | 17    |
| 5.3. <i>Mnemiopsis</i> 'in çeşitli sıcaklıklarda oksijen tüketimi                                                           | 18    |
| 5.4. <i>Mnemiopsis</i> 'in oksijen tüketimi - kuru ağırlık ilişkisinin enerji - kuru ağırlık ilişkisi olarak ifade edilmesi | 23    |
| 5.5. <i>Mnemiopsis</i> 'in Karadeniz'deki boy dağılımı ve yoğunluğu                                                         | 25    |
| 5.6. <i>Mnemiopsis</i> 'in solunum yoluyla harcadığı enerjinin hesaplanması                                                 | 28    |
| 6. Tartışma ve sonuç                                                                                                        | 30    |
| 7. Kaynakça                                                                                                                 | 32    |

## *Teşekkür*

Bu çalışma Orta Doğu Teknik Üniversitesi'ne bağlı Erdemli Deniz Bilimleri Enstitüsünde gerçekleştirilmiş olup, enstitü olanaklarının kullanılmasını sağladığı için Enstitü Müdürlüğünə teşekkür ederim. Ayrıca enstitü personelinden Araştırma görevlisi Şengül Beşiktepe'ye ve Tarım Bakanlığına bağlı Trabzon'daki Yomra Su Ürünleri Araştırma Enstitüsü Müdürü Yılmaz Bekiroğlu ve elemanlarından Ülkü Ataç, Yılmaz Çiftçi, Ali Alkan ve Binnur Ceylan ile İstanbul Üniversitesi'ne bağlı Deniz Bilimleri ve Coğrafya Enstitüsü Müdürlüğüne ve araştırma gemileri R/VArar'in personeline yardımcılarından dolayı müteşekkirim. Bu çalışmaya sağladığı destekten dolayı TÜBİTAK'a minnettarım.

## *Özet*

Bu çalışmada Karadeniz'e 1980'li yılların sonunda Atlantikten kazara taşınan ktenofor *Mnemiopsis*'in oksijen tüketimi değişik sıcaklıklarda tespit edildi. Oksijen tüketiminin *Mnemiopsis*'in vücut hacmi ile orantılı olarak arttığı gözlandı. *Mnemiopsis*'te kuru ağırlık (mg) ile oksijen tüketimi ( $R$ ;  $\mu\text{l birey}^{-1}\text{saat}^{-1}$ ) arasındaki ilişki 20 °C için;

$$\text{Log10 } R = 0.46 + 0.86 \text{ Kuru Ağırlık,}$$

ve 8 °C için;

$$\text{Log10 } R = 0.46 + 0.86 \text{ Kuru Ağırlık,}$$

denklemleri ile tanımlandı. Karadeniz'de *Mnemiopsis*'in boy dağılımı ve 1991-1995 yıllarına ait yoğunluk değerleri kullanılarak, yılda metrekare başına 812 kilojoule (=193 kilokalori) enerjiyi solunum yoluyla kaybettiği saptandı.

Anahtar kelimeler: Enerji, Karadeniz, ktenofor, *Mnemiopsis*, solunum, oksijen

## **Abstract**

In this study the oxygen consumption of the ctenophore *Mnemiopsis*, which was accidentally transported to the Black Sea from the Atlantic, was determined at different temperatures. Oxygen consumption was observed to increase with the body volume of *Mnemiopsis*. The relationship between oxygen consumption ( $R$ ;  $\mu\text{l birey}^{-1}\text{saat}^{-1}$ ) and dry weight (mg) of *Mnemiopsis* could be described with the following equation. For 20 °C;

$$\text{Log10 } R = 0.46 + 0.86 \text{ Dry Weight},$$

and for 8 °C;

$$\text{Log10 } R = 0.46 + 0.86 \text{ Dry Weight},$$

Using the size frequency distribution and density values of *Mnemiopsis* from the Black Sea for the years 1991-1995, annual energy loss via respiration was determined as 812 kJoule (=193 kCal).

Keywords: Black Sea, Ctenophora, Energy, *Mnemiopsis*, Oxygen, Respiration



| Şekiller listesi                                                                                                                                                                                                   | Sayfa |
|--------------------------------------------------------------------------------------------------------------------------------------------------------------------------------------------------------------------|-------|
| <i>Şekil 1.</i> Karadeniz <i>Mnemiopsis</i> 'i. ....                                                                                                                                                               | 9     |
| <i>Şekil 2.</i> <i>Mnemiopsis</i> 'in büyüklüğünün belirlenmesinde kullanılan çeşitli uzunluklar (Mutlu 1996'dan). BW = Vücut genişliği, AL = Ağız boyu, ArL = Auricle boyu, LL = Lob boyu (veya toplam boy). .... | 14    |
| <i>Şekil 3.</i> Trabzon sahillerinden Temmuz 1995 tarihinde toplanan <i>Mnemiopsis</i> 'in ağırlık - hacim ilişkisi. ....                                                                                          | 16    |
| <i>Şekil 4.</i> <i>Mnemiopsis</i> 'in 24°C'de oksijen tüketiminin kuru ağırlık ile logaritmik ilişkisi. ....                                                                                                       | 20    |
| <i>Şekil 5.</i> <i>Mnemiopsis</i> 'in 20°C'de oksijen tüketiminin kuru ağırlık ile logaritmik ilişkisi. ....                                                                                                       | 22    |
| <i>Şekil 6.</i> <i>Mnemiopsis</i> 'in 8°C'de oksijen tüketiminin kuru ağırlık ile logaritmik ilişkisi. ....                                                                                                        | 23    |
| <i>Şekil 7.</i> <i>Mnemiopsis</i> 'in 20°C'de enerji kaybı ile kuru ağırlık arasındaki logaritmik ilişki. ....                                                                                                     | 24    |
| <i>Şekil 8.</i> <i>Mnemiopsis</i> 'in 8°C'de enerji kaybı ile kuru ağırlık arasındaki logaritmik ilişki. ....                                                                                                      | 24    |
| <i>Şekil 9.</i> Değişik sıcaklıklardaki kesişim değerlerinin bulunması için 20 °C ve 8 °C için bulunan kesişim değerlerinin (Log10 A; bkz <i>Şekil 7 ve 8</i> ) bu sıcaklıklara plotu. ....                        | 25    |
| <i>Şekil 10.</i> <i>Mnemiopsis</i> 'in Haziran 1996'daki hacim grubu dağılımı ....                                                                                                                                 | 26    |

| Tablolar listesi                                                                                                                              | Sayfa    |
|-----------------------------------------------------------------------------------------------------------------------------------------------|----------|
| <i>Tablo 1.</i> Trabzon'un Yomra kıyılarından örneklenen<br>Mnemiopsis'lerde çeşitli morfometrik ölçümler.                                    | ..... 15 |
| <i>Tablo 2.</i> Havalandırma sonrası deney kavanozuna alınan<br>deniz suyunda çözünmüş oksijen konsantrasyonun<br>(ÇO) zamana bağlı değişimi. | ..... 17 |
| <i>Tablo 3.</i> Mnemiopsis'in 24 °C'deki oksijen tüketimi.                                                                                    | ..... 19 |
| <i>Tablo 4.</i> Mnemiopsis'in 20 °C'deki oksijen tüketimi.                                                                                    | ..... 21 |
| <i>Tablo 5.</i> Mnemiopsis'in 8 °C'deki oksijen tüketimi.                                                                                     | ..... 22 |
| <i>Tablo 6.</i> Mnemiopsis'in 1991 ve 1995 arasında çeşitli örnekleme<br>zamanlarında Karadeniz'deki yoğunluğu.                               | ..... 27 |
| <i>Tablo 7.</i> Mnemiopsis biyokitlesinin enerji denkleminin eğim değeri<br>ile ilişkilendirilmesi. (Tüm değerler $\text{mg m}^{-2}$ olarak). | ..... 28 |
| <i>Tablo 8.</i> Mnemiopsis'in solunum yoluyla harcadığı enerji<br>miktarının hesaplanması.                                                    | ..... 29 |

## ***1. PROJESİ DESTEKLEYEN VE İŞBİRLİĞİ YAPILAN KURULUŞLAR***

Projeyi destekleyen ve işbirliği yapılan kuruluşlar şunlardır:

### ***Türkiye Bilimsel ve Teknik Araştırma Kurumu (TÜBİTAK)***

Türkiye Bilimsel ve Teknik Araştırma Kurumu, bünyesindeki Yer, Deniz, Atmosfer Bilimleri ve Çevre Araştırmaları Grubu (YDABÇAG) tarafından YDABÇAG-96D Projesi kapsamında desteklemiştir.

### ***Tarım ve Köyişleri Bakanlığı - Trabzon Su Ürünleri***

#### ***Araştırma Enstitüsü (TKB-TSÜAE)***

Tarım ve Köyişleri Bakanlığının Trabzon Su Ürünleri Araştırma Enstitüsü proje çalışmalarına bu çalışmada yapılan üç deneyden ilkinin gerçekleştirilmesine katkıda bulunmuştur.

### ***Orta Doğu Teknik Üniversitesi - Erdemli Deniz Bilimleri Enstitüsü (ODTÜ-DBE)***

Deniz Bilimleri Enstitüsü, deneylerin ve analizlerin yapılp, sonuçların değerlendirilmesine katkıda bulunmuştur. Ayrıca projenin ara raporu ve final raporu da Deniz Bilimleri Enstitüsünde hazırlanarak TÜBİTAK'a sunulmuştur.

## 2. *GİRİŞ*

Son çeyrek yüzyılda, özellikle Kuzeybatısındaki büyük nehirlerin taşıdığı nütrient (nitrat ve fosfat) konsantrasyonlarının artması sonucu, Karadeniz ekolojik sisteminde değişiklikler izlenmiş, nütrient dengesinin bozulması, fitoplankton ve zooplanktonun kompozisyonunu etkilemiştir (Borodkin ve Korzhikova, 1991). Böylece plankton ve dolayısıyla üretim miktarında bir artış gözlenmiş, ve bunun Türkiye'nin avladığı hamsi miktarlarının yıllara göre yükselmesinde önemli bir etken olduğu ileri sürülmüştür (Kideyş, 1994). Ancak, Kuzeybatı Atlantik'ten Karadeniz'e tesadüfen taşıdığı sanılan ve bilhassa üretimin yüksek olduğu denizlerde çok etkili bir zooplankton yiyecek olan bir ktenefor türünün (*Mnemiopsis sp.*; *Sekil 1*) biyomasının 1988'lerden itibaren bu



*Sekil 1.* Karadeniz *Mnemiopsis*'i.

denizde olaganüstü miktarlarda artışı, bu yıldan itibaren hamsi av miktarlarında görülen ani düşüşte en etkin faktör olarak göze çarpmaktadır (Kideyş 1994, Niermann ve dig. 1994).

Solunum, oksijen kullanarak enerjisi yüksek bileşiklerin vücutta biyokimyasal olarak yakılması diye tarif edilebilir. Böylece bir organizma ya da populasyonun metabolizmasının oranı (veya "masrafi") tüketilen oksijenin ölçülmesi ile tesbit edilebilir. Metabolik faaliyetlerin neticesi olarak bu şekilde üretilen ısı enerjisi daimi olarak ortama kaybedilir. Kullanılan her ml oksijenin 20.2 joule (=4.8 kalori) ısı enerjisine eşdeğer olduğu hesaplanmıştır (Ivlev 1934).

Herhangi bir tür için oksijen tüketimi ( $R$ ) ile vücut ağırlığı ( $W$ ) arasındaki ilişki şu denklemle ifade edilebilir:

$$R = \alpha \cdot W^b \quad R = \alpha \cdot W^b \text{ veya logaritmik olarak;}$$

$$\log_{10} R = \log_{10} \alpha + b \cdot \log_{10} W.$$

Bu denklemlerde  $b$  oksijen tüketimi ile ağırlık arasındaki ilişkiyi en iyi tanımlayan doğrusal çizginin eğimi,  $\alpha$  da çizginin y eksenini kestiği kesim noktasıdır. Bu denklem metabolik aktivitenin ağırlık ile ilişki derecesini gösterir. Sıcaklık  $b$ 'yi etkileyen en önemli faktörlerden birisidir. Soğukkanlı hayvanlarda yükselen ortam sıcaklığı genelde oksijen tüketiminin artmasına neden olur. Şüphesiz diğer birçok faktör (açlık durumu, hareketlilik, üreme vs) oksijen tüketimini etkileyebilir.

Bu çalışmada *Mnemiopsis*'in oksijen tüketimi ölçülecek birim alanda ne kadarlık bir enerjinin bu şekilde kaybolduğu araştırılmaktadır.

### **3. PROJENİN AMACI**

Hamsi ve diğer pelajik stoklarımızın anı bir şekilde azalmasına neden olan bu hayvanın biyolojik ve ekolojik özelliklerinin acil olarak öğrenilmesi, balıkçılığımızın tekrar iyi bir duruma gelmesi için gerekli tedbirlerin alınmasında en önemli basamaklardan birini oluşturmaktadır. *Mnemiopsis*'in, hamsi ve diğer birçok pelajik balığın besinini oluşturan zooplanktonu çok obur bir şekilde tükettiği bilinmektedir. Karadeniz ekosistemi üzerine bu taraklı (ktenofor) tarafından yapılan olumsuz etkinin ortaya çıkarılması için biyokitle tesbitinin yanında (ki bu ODTÜ Deniz Bilimleri tarafından halihazırda araştırılmaktadır), bu türün beslenme, solunum, büyümeye ve üreme oranlarının da bilinmesi gerekmektedir. Çünkü solunumun artmasıyla bu canının besin tüketimi de artmakta dolayısıyla ortamda diğer canlıların ve özellikle de hamsinin kullanacağı besin kaynağı azalmaktadır. Bu çerçevede *Mnemiopsis*'in oksijen tüketim miktarının araştırılması, bu hayvanın aldığı besini ne şekilde kullandığını göstermesi açısından önemlidir.

#### **4. PROJEDE UYGULANAN YÖNTEM**

*Mnemiopsis*'in solunum yoluyla harcadığı enerji miktarının belirlenmesi için ilk deney (5-6 Temmuz 1995; sıcaklık 24 °C); tarihinde Trabzon'un Yomra sahilinden toplanan örneklerle, ikinci deney (30 Ekim 1995; sıcaklık 20 °C) ve üçüncü deneyler (3 Aralık 1995; sıcaklık 8.5 °C) ise İstanbul Boğazından toplanan örneklerle yapıldı. Deneylerde değişik boy gruplarına ait 7 ile 24 arasında *Mnemiopsis* kullanılarak hacmi 750-1000 ml arasında değişen pet kavanozlarda yapıldı. Her fert için bir kavanoz kullanıldı. Deney için GFC ile filtre edilmiş (yaklaşık 0.5 micron) deniz suyu kullanıldı. İlk deneyin süresi 13 saat 45 dakika iken sonraki deneyler 4'er saat olarak belirlendi. Deney sonunda kalan oksijen miktarının tesbiti için su örnekleri alındıktan sonra *Mnemiopsis*'lerin hacimleri dereceli silindirde ölçüldü. İlk deney sonunda hacim ölçümünün yanında çeşitli boy (toplam boy, ağız boyu ve auricle boyu; *Sekil 2*) ve ağırlık ölçümleri de yapıldı.

Başlangıçta bolca havalandırılan filtre edilmiş deniz suyunun oksijen konsantrasyonu havalandırma sonrası örnekleme zamanının tesbiti amacıyla 1 veya 2 dk. aralıklarla stabil değerler elde edilinceye kadar ölçüldü. Tüm çözünmüş oksijen ölçümleri Winkler metodu (Strickland ve Parsons, 1968) ile yapıldı.

Solunum değerlerinin enerji cinsinden Karadeniz'de *Mnemiopsis* populasyonu için hesaplanması Crisp (1984) denklemi kullanıldı:

$$R = \sum_0^m A_j \cdot \Delta t_j \cdot \left( \sum_0^n w_i^b \right)$$

Bu denklemde;

$R$  solunum yoluyla kayıp,  $\Delta t_j$  saat bazında toplam zaman,  $w_i$   $i$  hacim grubunun ortalama kuru ağırlığıdır.  $A$  ve  $b$  log solunumun enerji olarak değeri (joule/saat) ve log kuru ağırlık (mg) arasındaki doğrusal ilişkinin kesişim ve eğim değerleridir.

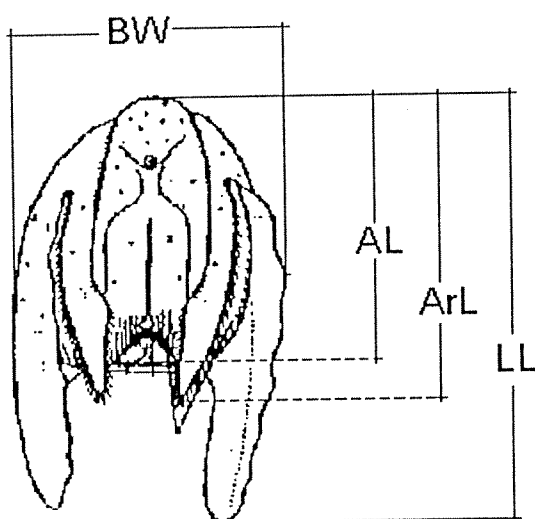
Regresyon kesişim ve eğim değerlerinin karşılaştırılması kovaryans (ANCOVA) analizi ile yapıldı (Zar, 1984).

*Mnemiopsis*'in boy dağılımına (hacim grubu olarak) ait veriler Haziran 1996'da Karadeniz'deki 66 istasyondan toplanan örneklerden elde edildi.

## 5. BULGULAR

### 5.1. Morfometrik ölçümler

*Mnemiopsis* üzerinde yapılan boy ölçümleri *Sekil 2* de gösterilmiştir. Ancak tüm hayvanların her tip boyunu ölçmek pratikte mümkün olmadı (*Tablo 1*).



*Sekil 2.* *Mnemiopsis*'in büyüklüğünün belirlenmesinde kullanılan çeşitli uzunluklar (Mutlu 1996'dan). BW = Vücut genişliği, AL = Açız boyu, ArL = Auricle boyu, LL = Lob boyu (veya toplam boy).

Bununla beraber tüm hayvanların ağırlık ve bilhassa hacim ölçümleri kolayca tesbit edildi.

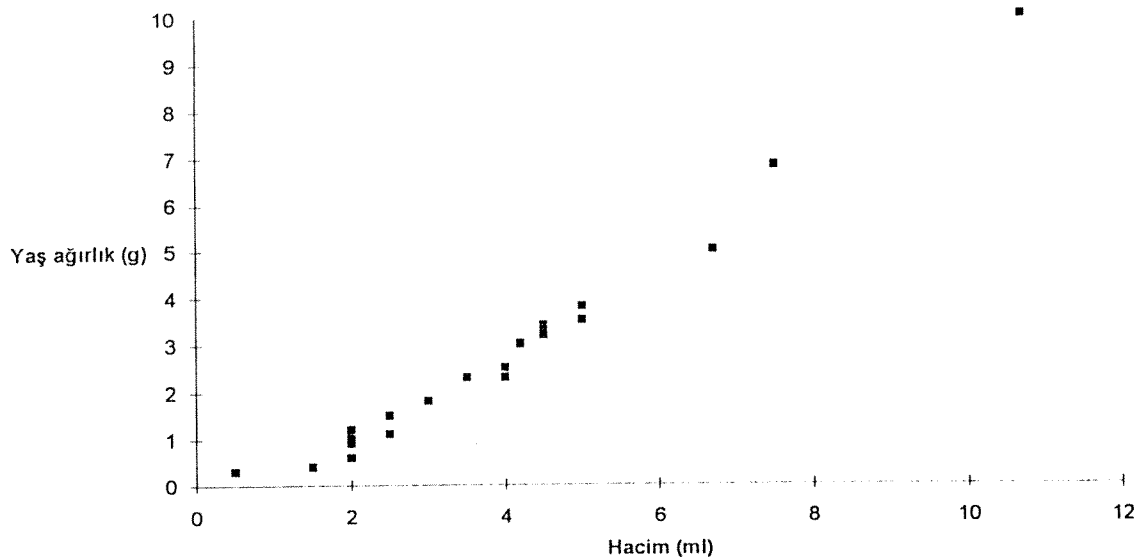
*Mnemiopsis*'in ağırlık - hacim ilişkisinin eğim değeri 1 olarak bulundu (*Sekil 3*).

**Tablo 1.** Trabzon'un Yomra kıyılarından örneklenen *Mnemiopsis*'lerde çeşitli morfometrik ölçümeler.

| No | Toplam boy<br>(cm) | Ağız boyu<br>(cm) | Auricle boyu<br>(cm) | Hacmi<br>(ml) | Ağırlığı<br>(g) |
|----|--------------------|-------------------|----------------------|---------------|-----------------|
| 1  | ?                  | 2.3               | ?                    | 2.0           | 0.6             |
| 2  | 3.5                | 2.8               | ?                    | 5.0           | 3.5             |
| 3  | 4.5                | 3.5               | ?                    | 6.7           | 5.0             |
| 5  | ?                  | 2.3               | 2.8                  | 4.0           | 2.3             |
| 7  | ?                  | 3.3               | 5.6                  | 7.5           | 6.8             |
| 8  | 4.0                | 2.5               | 2.7                  | 4.5           | 3.4             |
| 9  | 4.0                | 2.2               | 2.9                  | 5.0           | 3.8             |
| 10 | 2.0                | 1.6               | 2.1                  | 2.0           | 1.2             |
| 11 | 3.5                | 2.0               | 2.3                  | 4.2           | 3.0             |
| 12 | ?                  | 1.8               | 2.1                  | 4.0           | 2.5             |
| 13 | ?                  | 2.0               | 2.4                  | 4.5           | 3.3             |
| 14 | 2.3                | 1.4               | ?                    | 3.0           | 1.8             |
| 15 | 1.8                | 1.2               | ?                    | 2.0           | 0.9             |
| 17 | 3.2                | 1.8               | 2.3                  | 3.5           | 2.3             |
| 18 | 1.4                | 0.9               | 1.1                  | 0.5           | 0.3             |
| 19 | 2.5                | 1.5               | 1.7                  | 2.5           | 1.5             |
| 20 | 1.9                | 1.4               | 1.6                  | 2.0           | 1.0             |
| 22 | ?                  | 1.2               | 1.7                  | 1.5           | 0.4             |
| 23 | 3.0                | 2.2               | 2.6                  | 4.5           | 3.2             |
| 24 | 5.5                | 3.3               | 4.2                  | 10.7          | 10.0            |

(? ölçümün mümkün olamadığını gösterir).

$$\text{Ağırlık (g)} = -1.08 + \text{Hacim (ml)}, r^2=0.98, n=23$$



*Şekil 3.* Trabzon sahillerinden Temmuz 1995 tarihinde toplanan *Mnemiopsis*'in ağırlık - hacim ilişkisi.

Bu ilişki doğrusal olup, denklemi şudur:

$$\text{Yaş ağırlık (g)} = -1.08 + \text{Hacim (ml)}; r^2 = 0.98, n = 23.$$

Hernekadar bu denklemin korelasyon katsayısı çok yüksek ise de ( $r^2=0.98$ ), denklemin hesaplanması az sayıda küçük hacimli ktenoforların kullanılması nedeni ile sözkonusu boy grubu için denklem gerçekçi olmayabilirdi. Bu nedenle hesaplamalarda çok sayıda küçük ktenoforların da dahil edildiği Mutlu (1996)'ya ait hacim-ağırlık denklemi kullanıldı:

$$\text{Yaş ağırlık (g)} = -0.249 + 0.886 \cdot \text{Hacim (ml)}.$$

## *5.2. Oksijen örneklemesi zamanının belirlenmesi*

Ana tankta doygun bir şekilde havalandırılmakta olan deniz suyunun deney kavanozlarına alındıktan sonra doygunluk seviyesinde zamana ait nasıl bir değişimin olduğunu anlamak için yapılan deneyde organizmaları kavanoza koymadan en az 1 dakika beklemenin gerektiğini ortaya koydu. Deney kavanozuna alınan doygun deniz suyunun çözünmüş oksijen konsantrasyonu ilk andaki  $7.6 \text{ ml l}^{-1}$  değerinden 1 dakika sonra  $7.2 \text{ ml l}^{-1}$  ve  $7.1 \text{ ml l}^{-1}$  seviyesinde 6 dakika boyunca durağan kaldığı gözlandı (*Tablo 2*). Bu durum deney sırasında dikkate alınarak çalışıldı.

*Tablo 2.* Havalandırma sonrası deney kavanozuna alınan deniz suyunda çözünmüş oksijen konsantrasyonun ( $\text{CO}$ ) zamana bağlı değişimi.

| Havalandırmayı müteakip<br>örnekleme zamanı<br>(dakika) | $\text{CO}$<br>( $\text{ml l}^{-1}$ ) |
|---------------------------------------------------------|---------------------------------------|
| 0                                                       | 7.6                                   |
| 1                                                       | 7.2                                   |
| 2                                                       | 7.2                                   |
| 4                                                       | 7.1                                   |
| 6                                                       | 7.1                                   |

### **5.3. *Mnemiopsis*'in çeşitli sıcaklıklarda oksijen tüketimi**

Değişik hacim gruplarına ait *Mnemiopsis*'in oksijen tüketimi üç ayrı sıcaklıkta (24, 20 ve 8 °C) ölçülmüş olup, *Tablo 3* de 24 °C ye ait ilk deneyin ölçümleri sunulmaktadır.

Doğrudan tartım yoluyla bulunan yaş ağırlık değerleri, Borodkin ve Korzhikova (1991)'nın Karadeniz *Mnemiopsis*'i için tesbit ettiği kuru ağırlık:yaş ağırlığın oranı kullanılarak kuru ağırlığa çevrilmiştir. Oksijen tüketimi bu sıcaklıkta 197 ile 422  $\mu\text{l birey}^{-1}\text{saat}^{-1}$  arasında değişmiştir.

*Sekil 4*'ten de anlaşılacağı üzere genelde oksijen tüketimi hayvanların kuru ağırlığı ile bir artış göstermiştir. Ancak denklemin eğim değerinden anlaşılacağı üzere (0.02) bu artış ani değildir. Bulunan denklemin regresyon katsayısı ( $r^2$ ) 0.50 olarak tesbit edilmiştir. Bu düşük değerin deney süresinin (13 saat 45 dakika olarak) uzun tutulmasından kaynaklanmış olmalıdır. Bu nedenle *Mnemiopsis*'in solunum yoluyla harcadığı enerjinin tesbit edilmesinde bu sıcaklığa ait ölçümler değerlendirme dışında tutulmuşlardır.

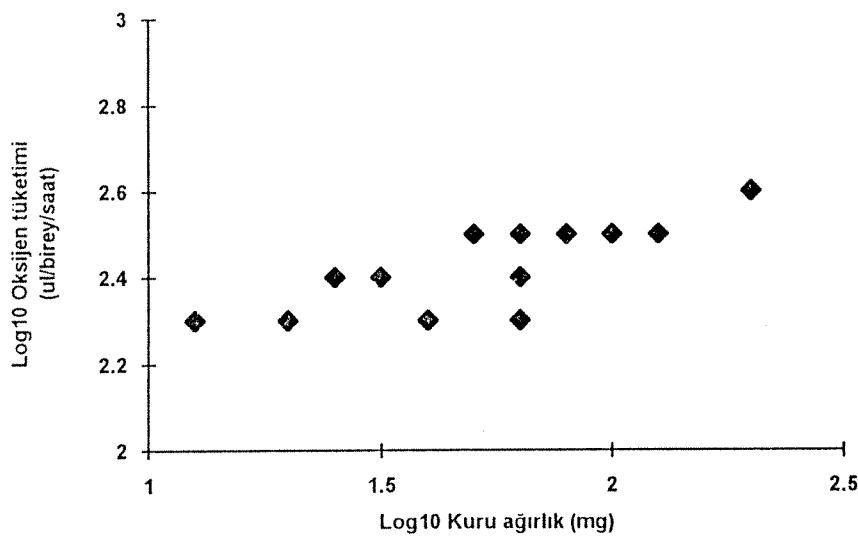
*Tablo 3.* *Mnemiopsis*'in 24 °C'deki oksijen tüketimi.

| No | Hacmi<br>(ml) | *Yaş<br>ağırlık<br>(g) | **Kuru<br>ağırlık<br>(mg) | Oksijen<br>tüketimi<br>( $\mu\text{l birey}^{-1}\text{saat}^{-1}$ ) | Spesifik<br>oksijen tüketimi<br>( $\mu\text{l mg}^{-1}\text{saat}^{-1}$ ) |
|----|---------------|------------------------|---------------------------|---------------------------------------------------------------------|---------------------------------------------------------------------------|
| 1  | 2.0           | 0.6                    | 12                        | 223                                                                 | 18.6                                                                      |
| 2  | 5.0           | 3.5                    | 70                        | 230                                                                 | 3.3                                                                       |
| 3  | 6.7           | 5.0                    | 100                       | 349                                                                 | 3.5                                                                       |
| 5  | 4.0           | 2.3                    | 46                        | 350                                                                 | 7.6                                                                       |
| 7  | 7.5           | 6.8                    | 136                       | 327                                                                 | 2.4                                                                       |
| 8  | 4.5           | 3.4                    | 68                        | 296                                                                 | 4.4                                                                       |
| 9  | 5.0           | 3.8                    | 76                        | 327                                                                 | 4.3                                                                       |
| 10 | 2.0           | 1.2                    | 24                        | 275                                                                 | 11.4                                                                      |
| 11 | 4.2           | 3.0                    | 60                        | 223                                                                 | 3.7                                                                       |
| 12 | 4.0           | 2.5                    | 50                        | 295                                                                 | 5.9                                                                       |
| 13 | 4.5           | 3.3                    | 66                        | 267                                                                 | 4.0                                                                       |
| 14 | 3.0           | 1.8                    | 36                        | 210                                                                 | 5.8                                                                       |
| 15 | 2.0           | 0.9                    | 18                        | 212                                                                 | 11.8                                                                      |
| 17 | 3.5           | 2.3                    | 46                        | 290                                                                 | 6.3                                                                       |
| 18 | 0.5           | 0.3                    | 6                         | 223                                                                 | 37.1                                                                      |
| 19 | 2.5           | 1.5                    | 30                        | 237                                                                 | 7.9                                                                       |
| 20 | 2.0           | 1.0                    | 20                        | 197                                                                 | 9.9                                                                       |
| 22 | 1.5           | 0.4                    | 8                         | 220                                                                 | 27.5                                                                      |
| 23 | 4.5           | 3.2                    | 64                        | 347                                                                 | 5.4                                                                       |
| 24 | 10.7          | 10.0                   | 200                       | 422                                                                 | 2.1                                                                       |

\* Yaş ağırlık doğrudan tartılarak bulundu.

\*\*Borodkin ve Korzhikova (1991)'ya göre *Mnemiopsis*'te kuru ağırlık yaş ağırlığının %2'sidir.

$$\text{Log10 Y} = 2.1 + 0.2 * \text{Log10 X}; r^2 = 0.5$$



*Sekil 4.* *Mnemiopsis*'in 24°C'de oksijen tüketiminin kuru ağırlık ile logaritmik ilişkisi.

Sonraki iki deneyde (20 ve 8 °C'de) deney süresi 4 saat olarak belirlenmiş olup *Tablo 4* ve *5*'de bu deneylere ait ölçüm değerleri sunulmaktadır. 20 °C'de oksijen tüketimi 45-200 µl birey<sup>-1</sup>saat<sup>-1</sup> arasında değişmiştir. Birim ağırlık (spesifik oksijen tüketimi) başına çevrildiğinde bu değerler 1.1 ile 2.5 µl mg<sup>-1</sup>saat<sup>-1</sup> olarak verilebilir. Oksijen tüketimi 8 °C'de oldukça azalmıştır (oksijen tüketimi olarak ranj 30-100 µl birey<sup>-1</sup>saat<sup>-1</sup> ve spesifik oksijen tüketimi olarak ranj 0.7-1.1 µl mg<sup>-1</sup>saat<sup>-1</sup>) Bu sıcaklıklardaki oksigen tüketimi ile kuru ağırlık arasındaki logaritmik ilişkiler *Sekil 5* ve *6*'da gösterilmektedir.

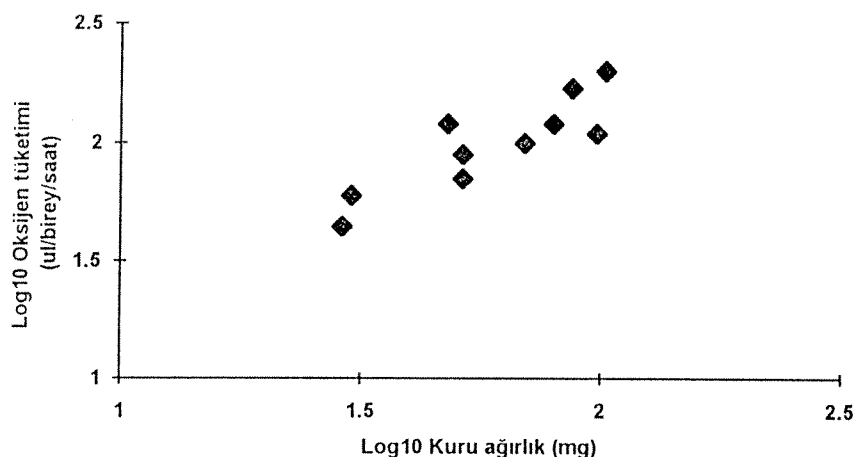
**Tablo 4.** *Mnemiopsis*'in 20 °C'deki oksijen tüketimi.

| No | Hacmi<br>(ml) | *Yaş<br>ağırlık<br>(g) | **Kuru<br>ağırlık<br>(mg) | Oksijen<br>tüketimi<br>( $\mu\text{l birey}^{-1}\text{saat}^{-1}$ ) | Spesifik<br>oksijen tüketimi<br>( $\mu\text{l mg}^{-1}\text{saat}^{-1}$ ) |
|----|---------------|------------------------|---------------------------|---------------------------------------------------------------------|---------------------------------------------------------------------------|
| 1  | 3.2           | 2.6                    | 52                        | 70                                                                  | 1.4                                                                       |
| 2  | 1.9           | 1.4                    | 29                        | 45                                                                  | 1.6                                                                       |
| 3  | 4.8           | 4.0                    | 80                        | 120                                                                 | 1.5                                                                       |
| 5  | 5.2           | 4.4                    | 87                        | 170                                                                 | 2.0                                                                       |
| 7  | 5.8           | 4.9                    | 98                        | 110                                                                 | 1.1                                                                       |
| 8  | 4.5           | 3.7                    | 75                        | 100                                                                 | 1.3                                                                       |
| 9  | 2.0           | 1.5                    | 30                        | 60                                                                  | 2.0                                                                       |
| 10 | 3.0           | 2.4                    | 48                        | 120                                                                 | 2.5                                                                       |
| 11 | 3.2           | 2.6                    | 52                        | 90                                                                  | 1.7                                                                       |
| 12 | 6.0           | 5.1                    | 101                       | 200                                                                 | 2.0                                                                       |

\*Yaş ağırlık (g)=  $-0.249 + 0.886 \cdot \text{Hacim (ml)}$  [Mutlu, 1996'dan].

\*\*Borodkin ve Korzhikova (1991)'ya göre *Mnemiopsis*'te kuru ağırlık yaş ağırlığının %2'sidir.

$$\text{Log}_{10} Y = 0.46 + 0.86 * \text{Log}_{10} X; r^2 = 0.75$$



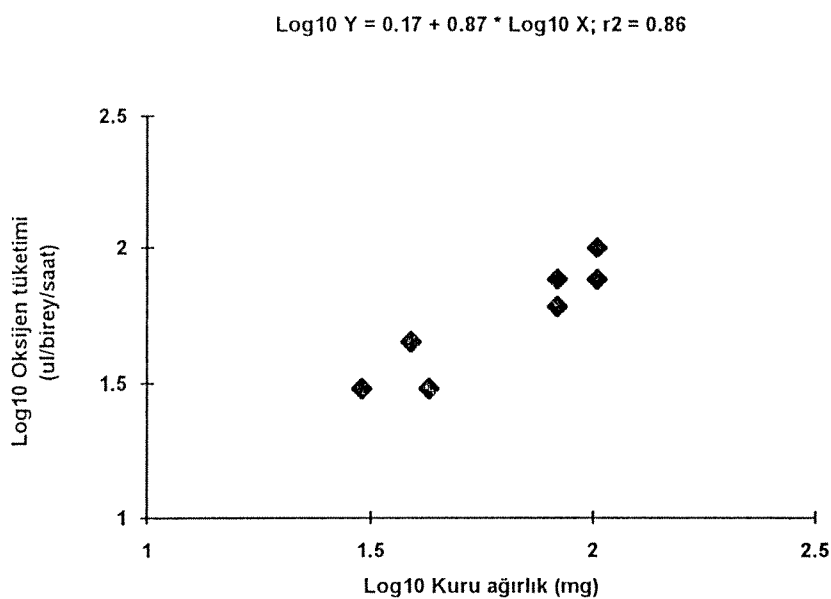
*Sekil 5.* *Mnemiopsis*'in 20°C'de oksijen tüketiminin kuru ağırlık ile logaritmik ilişkisi.

*Tablo 5.* *Mnemiopsis*'in 8 °C'deki oksijen tüketimi.

| No | Hacim<br>(ml) | *Yaş<br>ağırlık<br>(g) | **Kuru<br>ağırlık<br>(mg) | Oksijen<br>tüketimi<br>(μl birey <sup>-1</sup> saat <sup>-1</sup> ) | Spesifik<br>oksijen tüketimi<br>(μl mg <sup>-1</sup> saat <sup>-1</sup> ) |
|----|---------------|------------------------|---------------------------|---------------------------------------------------------------------|---------------------------------------------------------------------------|
| 1  | 5.0           | 4.2                    | 84                        | 75                                                                  | 0.9                                                                       |
| 2  | 5.0           | 4.2                    | 84                        | 60                                                                  | 0.7                                                                       |
| 3  | 2.5           | 2.0                    | 39                        | 45                                                                  | 1.1                                                                       |
| 4  | 6.0           | 5.1                    | 101                       | 100                                                                 | 1.0                                                                       |
| 5  | 6.0           | 5.1                    | 101                       | 75                                                                  | 0.7                                                                       |
| 6  | 2.7           | 2.1                    | 43                        | 30                                                                  | 0.7                                                                       |
| 7  | 2.0           | 1.5                    | 30                        | 30                                                                  | 1.0                                                                       |

\*Yaş ağırlık (g)= -0.249 + 0.886.Hacim (ml) [Mutlu, 1996'dan].

\*\*Borodkin ve Korzhikova (1991)'ya göre *Mnemiopsis*'te kuru ağırlık yaş ağırlığının %2'sidir.]

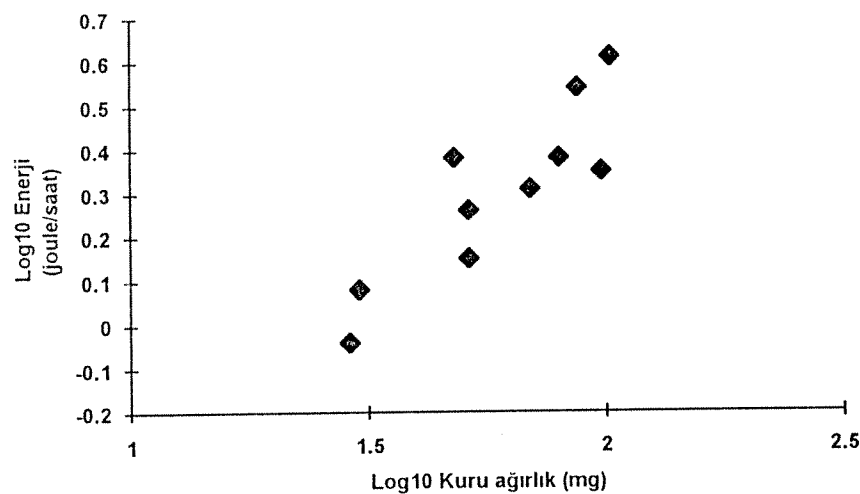


*Sekil 6.* *Mnemiopsis'in 8°C'de oksijen tüketiminin kuru ağırlık ile logaritmik ilişkisi.*

#### *5.4. Mnemiopsis'in oksijen tüketimi - kuru ağırlık ilişkisinin enerji - kuru ağırlık ilişkisi olarak ifade edilmesi*

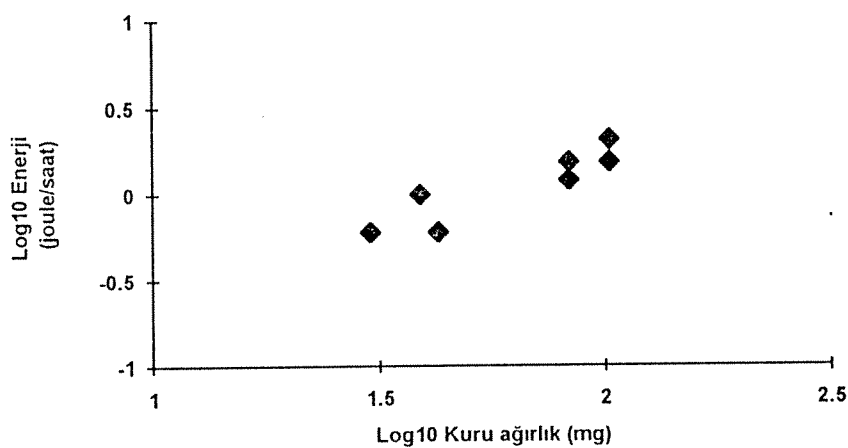
Solunum yoluyla *Mnemiopsis*'in harcadığı enerji miktarını hesaplamak için, 20 °C ve 8 °C'de bulunan oksijen tüketimi değerleri, 1 ml oksijenin 20.2 joule (ya da 4.8 kalori) olduğu gözönünde bulundurularak enerjiye (joule/saat) çevrildi (Ivlev 1934; bkz Crisp 1984). Çevirim sonrası kuru ağırlıkla enerji ilişkisi yeni denklemlerle ifade edildi (*Sekil 7* ve *8*).

$$\text{Log10 } Y = -1.23 + 0.86 * \text{Log10 } X; r^2 = 0.75$$



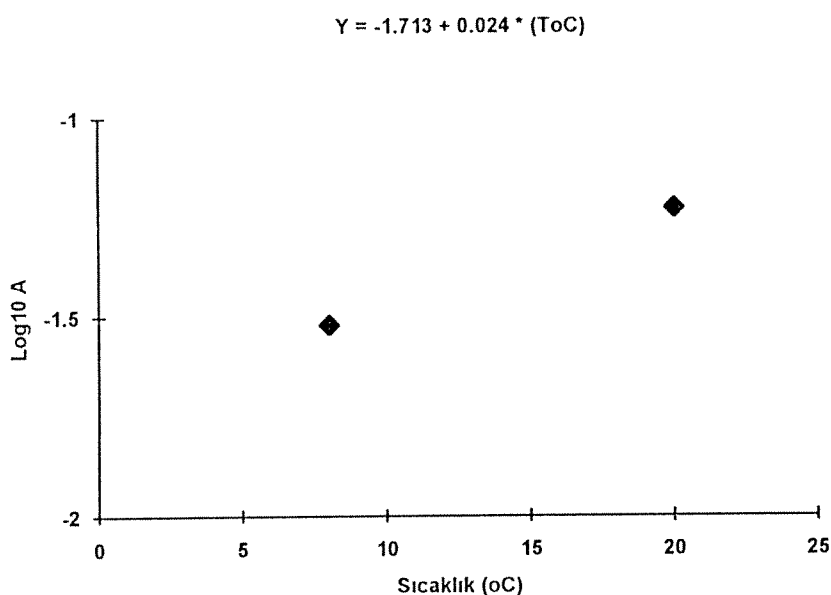
*Sekil 7.* *Mnemiopsis*'in 20°C'de enerji kaybı ile kuru ağırlık arasındaki logaritmik ilişki.

$$\text{Log10 } Y = -1.52 + 0.87 * \text{Log10 } X; r^2 = 0.86$$



*Sekil 8.* *Mnemiopsis*'in 8°C'de enerji kaybı ile kuru ağırlık arasındaki logaritmik ilişki.

20 °C ve 8 °C'deki enerji kaybı ile kuru ağırlık arasındaki ilişkinin eğimleri arasında önemli bir fark olmadığından (ANCOVA testi; Zar 1984), 0.865 ortalama eğim değeri olarak kabul edildi. Bu denklemlere ait kesişim (A) değerleri iki ayrı sıcaklık için *Sekil 9*'da gösterildiği gibi plot edildikten, varsayılan herhangi bir sıcaklık değerine karşı gelecek A değerlerinin bulunabileceği denklem [ $Y = -1.713 + (T^{\circ}\text{C})$ ] elde edildi.

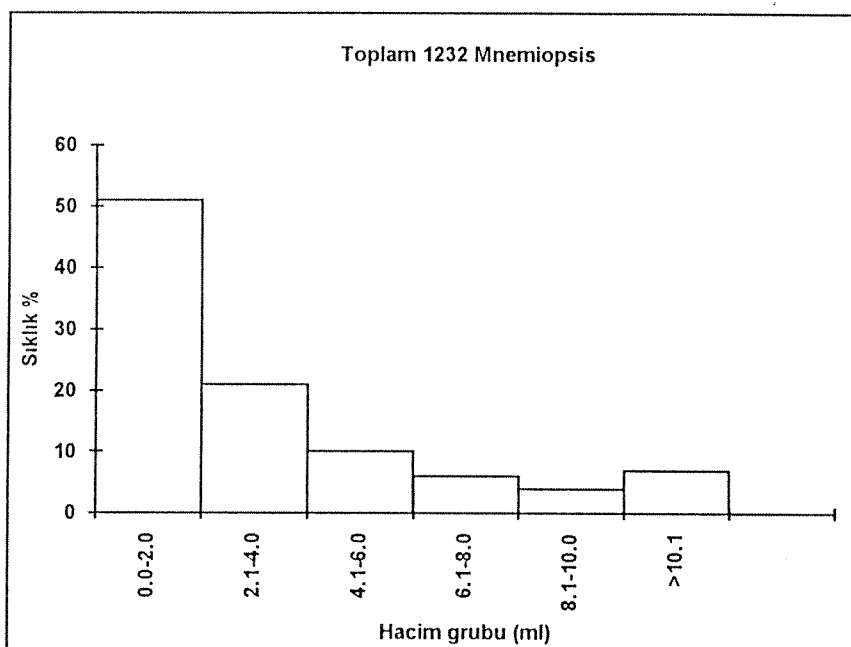


*Sekil 9.* Değişik sıcaklıklardaki kesişim değerlerinin bulunması için 20 °C ve 8 °C için bulunan kesişim değerlerinin ( $\text{Log}_{10} A$ ; bkz *Sekil 7 ve 8*) bu sıcaklıklara plotu.

### 5.5. *Mnemiopsis*'in Karadeniz'deki boy dağılımı ve yoğunluğu

*Mnemiopsis*'te enerji kaybı hayvanların boy dağılımı ile doğrusal bir ilişki gösterdiğinden yıllık toplam enerji kaybının hesaplanmasında populasyon boy dağılımının bilinmesi gereklidir. Bu nedenle bu veriler Haziran 1996'da Karadeniz'in Türk karasularında 66 istasyonda örneklenen toplam 1232 *Mnemiopsis*'in hacimlerinin ölçülmesiyle elde edildi

(*Sekil 10*). Sıklık dağılımı populasyonu ağırlıklı olarak (>%50) en küçük hacim grubunun (0.0-2.0 ml) oluşturduğunu gösterdi. Bir sonraki hacim grubu (2.1-4.0 ml) toplam populasyonun %21'ini oluşturdu. Hacim grubunun artmasıyla populasyondaki yüzdeelerinde bir azalma görüldü.



*Sekil 10.* *Mnemiopsis*'in Haziran 1996'daki hacim grubu dağılımı

*Mnemiopsis*'in Karadeniz'de bir tek yıl boyunca her aya ait ortalama yoğunluk değerinin bulunmaması nedeniyle, 1991 ve 1995 yılları arasındaki tüm seferlerden elde edilen bulgular değerlendirildi. Bu yıllar arasında aynı aya ait birden fazla değer varsa ortalama kullanılarak, *Mnemiopsis*'in bu yıllar arası için aylık zaman serisi çıkarıldı (*Tablo 6*). Buna göre *Mnemiopsis*'in yaş ağırlığı metrekarede 176 g (Haziran) ile 485 g (Mart) arasında

değişti. Bu değerler kuru ağırlık olarak Haziran'da 3520 mg ile Mart'ta 9700 mg'a eşdeğerdir.

*Tablo 6. Mnemiopsis'in 1991 ve 1995 arasında çeşitli örneklemeye zamanlarında Karadeniz'deki yoğunluğu.*

| Ay                      | Yıl         | <i>Mnemiopsis</i>          |                                  |                                    |
|-------------------------|-------------|----------------------------|----------------------------------|------------------------------------|
|                         |             | aAdet<br>No/m <sup>2</sup> | aYaş Ağırlık<br>g/m <sup>2</sup> | cKuru Ağırlık<br>mg/m <sup>2</sup> |
| Ocak                    | 1992        | 97                         | 291                              | 5820                               |
| Ocak                    | 1993        | 177                        | 253                              | 5060                               |
| Ocak                    | 1994        | 158                        | 339                              | 6780                               |
| <i>Ocak ortalaması</i>  |             | <b>144</b>                 | <b>294</b>                       | <b>5880</b>                        |
| <i>Şubat</i>            | <i>1994</i> | <i>158</i>                 | <i>339</i>                       | <i>6780</i>                        |
| <i>Mart</i>             | <i>1995</i> | <i>152</i>                 | <i>485</i>                       | <i>9700</i>                        |
| Nisan                   | 1993        | 12                         | 14                               | 280                                |
| Nisan                   | 1994        | 68                         | 253                              | 5060                               |
| Nisan                   | 1995        | 152                        | 485                              | 9700                               |
| <i>Nisan ortalaması</i> |             | <b>77</b>                  | <b>251</b>                       | <b>5020</b>                        |
| <i>Mayıs</i>            | <i>1994</i> | <i>68</i>                  | <i>253</i>                       | <i>5060</i>                        |
| <i>Haziran</i>          | <i>1991</i> | <i>11</i>                  | <i>176</i>                       | <i>3520</i>                        |
| <i>Temmuz</i>           | <i>1992</i> | <i>54</i>                  | <i>226</i>                       | <i>4520</i>                        |
| <i>Ağustos</i>          | <i>1993</i> | <i>40</i>                  | <i>212</i>                       | <i>4240</i>                        |
| <i>Eylül</i>            | b-          | <i>81</i>                  | <i>300</i>                       | <i>6000</i>                        |
| <i>Ekim</i>             | <i>1995</i> | <i>24</i>                  | <i>465</i>                       | <i>9300</i>                        |
| <i>Kasım</i>            | b-          | <i>81</i>                  | <i>300</i>                       | <i>6000</i>                        |
| <i>Aralık</i>           | b-          | <i>81</i>                  | <i>300</i>                       | <i>6000</i>                        |

aMutlu 1996'dan,

bBu aylara ait değer olmadığından tüm ayların ortalaması bu aylara ait değerler olarak kabul edildi,

cKuru ağırlık yaş ağırlığının %2'si olarak alındı.

### 5.6. *Mnemiopsis*'in solunum yoluya harcadığı enerjinin hesaplanması

Haziran 1996'da saptanan boy gruplamasının tüm aylar için geçerli olduğu varsayılarak ve *Tablo 6*'da bulunan her aya ait bulunan kuru ağırlık değerleri kullanılarak, her aydaki her hacim grubuna ait biyokitle değerleri ( $w_i$ ) tespit edildi (*Tablo 7*). Bulunan  $w_i$  değerleri ortak eğim ile ilişkilendirilerek  $w_i^b$  değerleri bulundu.

*Tablo 7. Mnemiopsis* biyokitlesinin enerji denkleminin eğim değeri ile ilişkilendirilmesi.

(Tüm değerler  $\text{mg m}^{-2}$  olarak).

| Ay      | Hacim grubu (ml) |         | 0.0-2.0 |         | 2.1-4.0 |         | 4.1-6.0 |         | 6.1-8.0 |         | 8.1-10.0 |         | >10.1 |                |
|---------|------------------|---------|---------|---------|---------|---------|---------|---------|---------|---------|----------|---------|-------|----------------|
|         | $w_i$            | $w_i^b$ | $w_i$   | $w_i^b$ | $w_i$   | $w_i^b$ | $w_i$   | $w_i^b$ | $w_i$   | $w_i^b$ | $w_i$    | $w_i^b$ | $w_i$ | $\Sigma w_i^b$ |
| Ocak    | 2999             | 1018    | 1235    | 472     | 588     | 249     | 353     | 160     | 235     | 113     | 412      | 183     | 2193  |                |
| Şubat   | 3458             | 1151    | 1424    | 534     | 678     | 281     | 407     | 181     | 271     | 127     | 475      | 207     | 2481  |                |
| Mart    | 4947             | 1569    | 2037    | 728     | 970     | 383     | 582     | 246     | 388     | 174     | 679      | 282     | 3382  |                |
| Nisan   | 2560             | 887     | 1054    | 412     | 502     | 217     | 301     | 139     | 201     | 98      | 351      | 159     | 1913  |                |
| Mayıs   | 2581             | 894     | 1063    | 415     | 506     | 218     | 304     | 140     | 202     | 99      | 354      | 160     | 1926  |                |
| Haziran | 1795             | 653     | 739     | 303     | 352     | 159     | 211     | 103     | 141     | 72      | 246      | 117     | 1407  |                |
| Temmuz  | 2305             | 810     | 949     | 376     | 452     | 198     | 271     | 127     | 181     | 90      | 316      | 145     | 1747  |                |
| Ağustos | 2162             | 767     | 890     | 356     | 424     | 187     | 254     | 120     | 170     | 85      | 297      | 138     | 1653  |                |
| Eylül   | 3060             | 1035    | 1260    | 481     | 600     | 253     | 360     | 163     | 240     | 115     | 420      | 186     | 2232  |                |
| Ekim    | 4743             | 1513    | 1953    | 702     | 930     | 370     | 558     | 238     | 372     | 167     | 651      | 271     | 3261  |                |
| Kasım   | 3060             | 1035    | 1260    | 481     | 600     | 253     | 360     | 163     | 240     | 115     | 420      | 186     | 2232  |                |
| Aralık  | 3060             | 1035    | 1260    | 481     | 600     | 253     | 360     | 163     | 240     | 115     | 420      | 186     | 2232  |                |

Karadeniz'de sıcaklığın aylık değişimi Oğuz ve dig. (1996)'dan alınarak her aya ait  $\log A$  ve  $A$  değerleri *Sekil 9*'da sunulan denklem yardımıyla hesaplandı (*Tablo 8*). Her aya ait A

değerinin o aydaki toplam saat ( $\Delta t$ ) ve *Tablo 7*'de hesaplanan  $\Sigma w_i b$  ile çarpılmasıyla, *Mnemiopsis*'in sözkonusu aya ait solunum yoluyla harcadığı enerji miktarı hesaplandı. Solunum yoluyla enerji harcamasının yıl boyunca  $44076 \text{ joule m}^{-2} \text{ ay}^{-1}$  ve  $97047 \text{ joule m}^{-2} \text{ ay}^{-1}$  arasında seyrettiği gözlendi. *Mnemiopsis*'in solunum yoluyla kaybettiği yıllık enerji miktarı metrekarede 812 kilojoule (=193 kilokalori) idi.

*Tablo 8.* *Mnemiopsis*'in solunum yoluyla harcadığı enerji miktarının hesaplanması.

| Aylar   | $\Delta t$<br>(saat) | * $q$<br>(°C) | $\log A$ | $A$   | $\Sigma w_i b$                                                                         | $\Sigma A_j \Delta t \Sigma w_i b$<br>(joule $m^{-2} \text{ay}^{-1}$ ) |
|---------|----------------------|---------------|----------|-------|----------------------------------------------------------------------------------------|------------------------------------------------------------------------|
| Ocak    | 744                  | 8.5           | -1.509   | 0.031 | 2193                                                                                   | 50579                                                                  |
| Şubat   | 672                  | 7.5           | -1.533   | 0.029 | 2481                                                                                   | 48350                                                                  |
| Mart    | 744                  | 8.5           | -1.509   | 0.031 | 3382                                                                                   | 78002                                                                  |
| Nisan   | 720                  | 9.0           | -1.497   | 0.032 | 1913                                                                                   | 44076                                                                  |
| Mayıs   | 744                  | 13.0          | -1.401   | 0.040 | 1926                                                                                   | 57318                                                                  |
| Haziran | 720                  | 19.0          | -1.257   | 0.055 | 1407                                                                                   | 55717                                                                  |
| Temmuz  | 744                  | 24.0          | -1.137   | 0.073 | 1747                                                                                   | 94883                                                                  |
| Ağustos | 744                  | 24.0          | -1.137   | 0.073 | 1653                                                                                   | 89778                                                                  |
| Eylül   | 720                  | 18.0          | -1.281   | 0.052 | 2232                                                                                   | 83556                                                                  |
| Ekim    | 744                  | 13.0          | -1.401   | 0.040 | 3261                                                                                   | 97047                                                                  |
| Kasım   | 720                  | 11.0          | -1.449   | 0.036 | 2232                                                                                   | 57853                                                                  |
| Aralık  | 744                  | 9.5           | -1.485   | 0.033 | 2232                                                                                   | 54800                                                                  |
| Toplam  |                      |               |          |       | 812 $\text{kJ m}^{-2} \text{ yıl}^{-1}$ veya 193 $\text{kCal m}^{-2} \text{ yıl}^{-1}$ |                                                                        |

\*Karadeniz'in açıklarını içeren orta bölgesinde aylara göre yaklaşık deniz yüzeyi sıcaklıklarları (uzun yıllara ait ölçümler; Oğuz ve diğ. 1996'dan).

## 6. TARTIŞMA VE SONUÇ

Deniz omurgasızlarının çoğunda, solunum, hayvanın vücut ağırlığının artmasıyla yükselir. Ruslar ve Ukraynalılar tarafından yapılan deneylerde bu genellemeye Karadeniz'deki *Mnemiopsis* populasyonu için de bu doğrulanmıştır (Pavlova ve Minkina 1993; Minkina ve Pavlova 1995; Finenko ve dig. 1995). Bu çalışmada *Mnemiopsis* için benzer sonuç elde edilmiştir. Tüm sıcaklıklarda büyük boylu *Mnemiopsis*'ler daha fazla oksijen tüketmişlerdir.

Bu çalışmada bulunan oksijen tüketim değerleri aynı tür için Kuzeybatı Atlantik ve Karadeniz'de yapılan çalışmalarla karşılaştırılabilir düzeydedir. Örneğin Pavlova ve Minkina tarafından  $23^{\circ}\text{C}$  sıcaklıkta elde edilen  $R = 3.20 \text{ Kuru ağırlık}^{0.89}$  denklemi logaritmik olarak ifade edilirse  $\text{Log } R = 0.51 + 0.89 \text{ Log Kuru ağırlık}$  olacaktır ki bu denklem halihazır çalışmada  $20^{\circ}\text{C}$  için elde edilen  $\text{Log } R = 0.46 + 0.86 \text{ Kuru ağırlık}$  denklemine çok yakındır. Pavlova ve Minkina (1993) tarafından elde edilen biraz yüksekçe solunum değerleri onların çalışmasında sıcaklığın  $3^{\circ}\text{C}$  yüksek olmasından kaynaklanmış olmalıdır. Gerçekten de Kremer (1976 ve 1977) sıcaklığın *Mnemiopsis*'te solunumu çok önemli derecede etkilediğini göstermiştir. Bu çalışmada da  $8^{\circ}\text{C}$ 'deki oksijen tüketimi değerleri  $20^{\circ}\text{C}$ 'dekinden çok daha düşük seviyededir.

*Mnemiopsis*'in solunum yoluyla harcadığı enerji miktarı  $812 \text{ kJoule m}^{-2} \text{ yıl}^{-1}$  ya da  $193 \text{ kCal m}^{-2} \text{ yıl}^{-1}$  olarak bulunmuştur. Maalesef literatürde, elde edilen bu değerlerle karşılaştırmayı sağlayabilecek, *Mnemiopsis*'le ilgili analiz sonuçları mevcut değildir. Ancak bulunan değerlerin oldukça yüksek olduğu söylenebilir. Bu da *Mnemiopsis*'in Karadeniz'de en yüksek biyokitleye haiz obur bir plankton türü olmasından ötürü beklenmeyen bir sonuç değildir. *Mnemiopsis*'in ortamdan aldığı enerji şüphesiz bu değerden de çok daha fazla olmalıdır. Çünkü solunum yanında *Mnemiopsis* üreme ve büyümeye gibi diğer temel metabolik faaliyetler için de enerji harcamaktadır. Karadeniz'de *Mnemiopsis*'in etkisinin

tümüyle anlaşılıp değerlendirilmesi, bu faaliyetler için harcanan enerji miktarlarının saptanması ile mümkün olabilecektir.

v

## **7. KAYNAKÇA**

Borodkin S.O. ve L.I. Korzhikova 1991. Chemical composition of the ctenophore *Mnemiopsis leidyi* and evaluation of its role in transformation of biogenic elements in the Black Sea. *Oceanology* 31: 555-558.

Crisp D.J. 1984. Energy flow measurements. *Methods for the study marine benthos* (Editörler N.A. Holme ve A.D. McIntyre). *Blackwell Scientific Publications*: 284-372.

Finenko G.A., G.I. Abolmasova ve Z.A. Romanova 1995. Intensity of the nutrition, respiration, and growth of *Mnemiopsis mccradyi* in relation to grazing conditions. *Biologiya Morya, Vladivostok* 21(5): 315-320 (İngilizce özetli Rusça).

Ivlev V.S. 1934. Eine Mikromethode zur bestimung des kaloriengelhalts von Nahrstoffen. *Biochemische Zeitschrift* 275: 49-55.

Kıdeyş A.E., 1994. Recent dramatic changes in the Black Sea ecosystem: The reason for the sharp decline in Turkish anchovy fisheries. *Journal of Marine Systems* 5: 171-181.

Mee L.D. 1992. The Black Sea in crisis: The need for concerted international action. *Ambio* 21: 278-286.

Minkina N.I. ve E.V. Pavlova 1995. Diurnal changes of the respiration rate in the comb jelly *Mnemiopsis leidyi* in the Black Sea. *Oceanology* 35: 222-225.

Mutlu E. 1996. Distribution of *Mnemiopsis leidyi*, *Pleurobrachia pileus* (Ctenophora) and *Aurelia aurita* (Scyphozoa) in the western and southern Black Sea during 1991-1995: net sampling and acoustical application. Doktora tezi, Orta Doğu Teknik Üniversitesi.

Niermann U., F. Bingel, A. Gorban, A.D. Gordina, A.C. Gücü, A.E. Kideyş, A. Konsulov, G. Radu, A.A. Subbotin ve V.E. Zaika 1994. Distribution of anchovy eggs and larvae (*Engraulis encrasiculus*) in the Black Sea in 1991-1992. *ICES Journal of Marine Science* 51: 395-406.

Oğuz T., H. Ducklow, P. Malanotte-Rizzoli, S. Tuğrul, N. Nezlin ve Ü. Ünlüata 1996. Simulation of annual plankton productivity cycle in the Black Sea by a one-dimensional physical-biological model. *Journal of Geophysical Research* 101: 16585-16599.

Pavlova E.V. ve N.I. Minkina 1993. Respiration of introduced Black Sea ctenophore (Ctenophora, Lobata, *Mnemiopsis*). *Reports of the Academy of Sciences of Russia*: 333 (5): 682-683 (Rusça).

Strickland J.D.H. & T.R. Parsons 1968. A practical handbook of seawater analysis. *Fisheries Research Board Canada Bulletin* 167: 311 s.

Zar J.H. 1984. *Biostatistical analysis*. Prentice-Hall International Inc., 718 s.